

طراحی و ساخت اکسترودر خودپاک کن برای اکستروژن واکنشی ملامین فرمالدهید

**Design and Manufacture of Self-Wiping Extruder for the Reaction Extrusion
of Melamine Formaldehyde**

محمد رضا شفیعی، محمد حسین نوید فامیلی*، مهرداد کوکبی

۱- تهران، دانشگاه تربیت مدرس، دانشکده فنی و مهندسی، گروه مهندسی پلیمر، صندوق پستی ۱۴۱۵/۱۱۱

دريافت: ۸/۲/۲۵، پذيرش: ۸/۲/۲۶

چکیده

اکسترودرها بدون شک از مهمترین ماشین‌های مورد استفاده در صنایع فراورش پلیمرها بشمار می‌روند. از فرایندهای مهم در این زمینه اکستروژن واکنشی است. هنگام اکستروژن مواد گرماستخ به دلیل انجام واکنش، کنترل فرایند بسیار مشکل است. استفاده از اکسترودرهای خاص و همچنین دانستن سینتیک واکنش از عوامل مؤثر در انجام موقفيت آمیز اکستروژن واکنشی است. از انواع پیچ‌های خاص مورد استفاده مدول خودپاک‌کن است. در این گونه مدول‌ها امکان چسبیده شدن هیچ ماده‌ای به سطح پیچ داده نمی‌شود. در این پژوهش، طراحی و ساخت پیچ‌های خودپاک‌کن بررسی شده است. در ادامه برای تعیین خاصیت خودپاک‌کنندگی، اکستروژن واکنشی ملامین فرمالدهید انجام و نتایج حاصل با نمونه‌های تولید شده به روش پیمانه‌ای مقایسه شده است.

واژه‌های کلیدی

اکسترودر دوپیچه، خودپاک‌کن،
لامین فرمالدهید، اکستروژن واکنشی، فرایند

مقدمه

خواص محصول انجام شده است. اکستروژن ماده یاد شده، با انجام واکنش درون اکسترودر همراه است. پس از مدتی، به علت رشد لایه گرماستخ در دیواره‌های کanal، دستگاه از حرکت باز می‌ایستد. در سرعت‌های زیاد شکسته شدن جعبه دنده بسیار محتمل است.

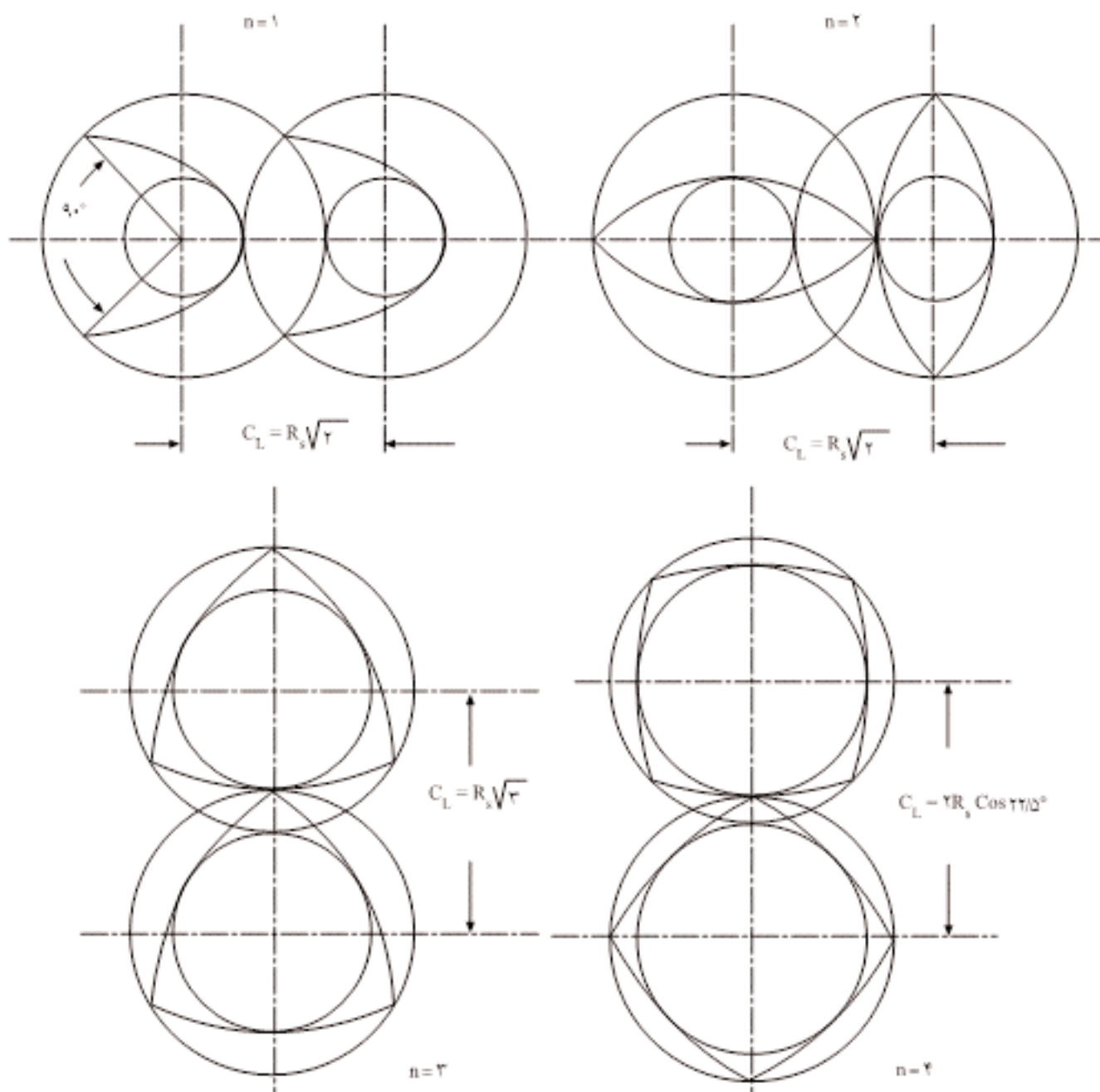
اکستروژن واکنشی فراینده است که در آن از اکسترودر به عنوان راکتور شیمیایی استفاده می‌شود. این واکنش می‌تواند انجام یا تکمیل پلیمر شدن، تهیه آلیاژ پلیمری، اصلاح یا تجزیه نوعی پلیمر باشد [۱]. در سال‌های اخیر، آزمایش‌های زیادی روی ملامین فرمالدهید، برای بررسی

Key Words

twin screw extruder, self-wiping,
melamine formaldehyde,
reaction extrusion, processing

پیچ با قطر، گام، سرعت و جهت چرخش یکسان است. شکل ۱ نشان دهنده سطوح مقطع پیچ‌هایی با تعداد رئوس ۱، ۲، ۳ و ۴ است. برای مقایسه، شعاع پیچ‌ها، R_s ، یکسان در نظر گرفته شده است. پیچ را می‌توان به شکل مجموعه‌ای از بی‌نهایت صفحه (disk) نازک در نظر گرفت که هر صفحه نسبت به صفحه مجاورش دچار کمی چرخش شده است. برای اینکه کل پیچ‌داری خاصیت خودپاک کنندگی باشد، باید هر جفت از صفحات خودپاک کن باشند [۳]. برای مشخص کردن

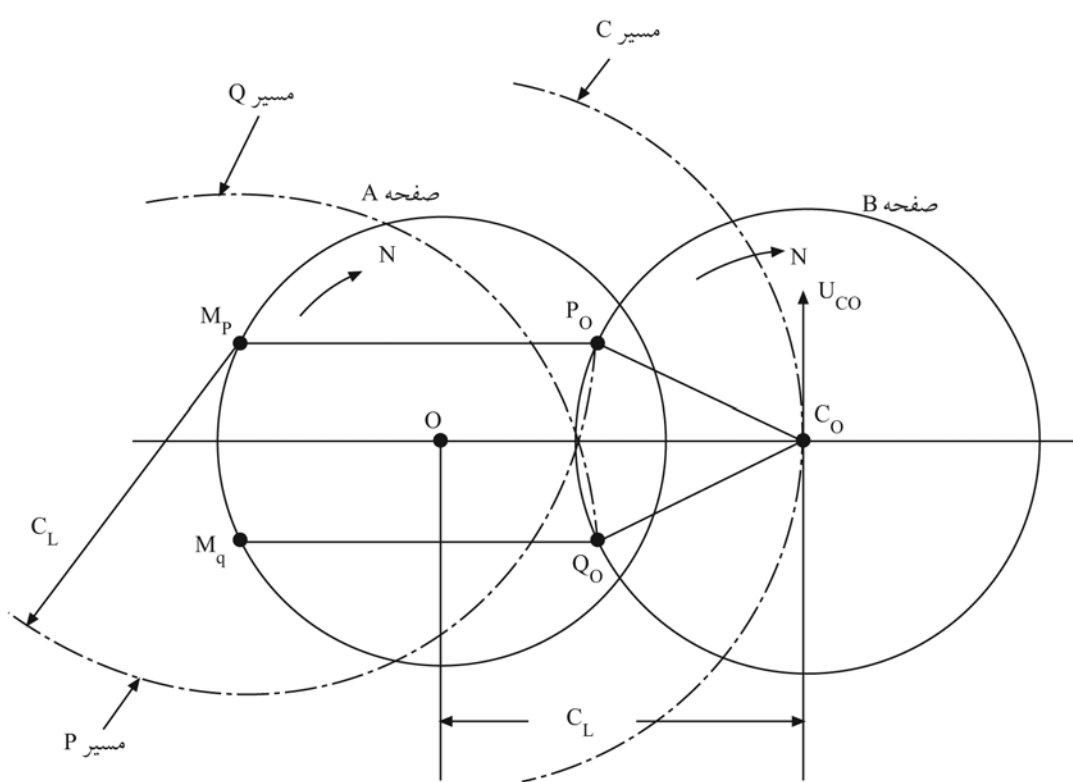
برای طراحی و ساخت پیچ‌های خودپاک کن دانستن شکل هندسی سطح مقطع ضروری است. شکل هندسی سطح مقطع پیچ‌های خودپاک کن همسوگرد از اصول ساده سینماتیکی پیروی می‌کند [۲، ۳]. با در نظر گرفتن سطح مقطع یکسان برای دو پیچ می‌توان سرعت‌های دو پیچ را مشابه یا متفاوت در نظر گرفت. اگر قطر، فاصله مرکز به مرکز و تعداد رئوس ثابت در نظر گرفته شوند، شکل سطح مقطع منحصر به فرد خواهد شد [۴]. ساده‌ترین جفت پیچ‌های هم‌جهت متشکل از دو

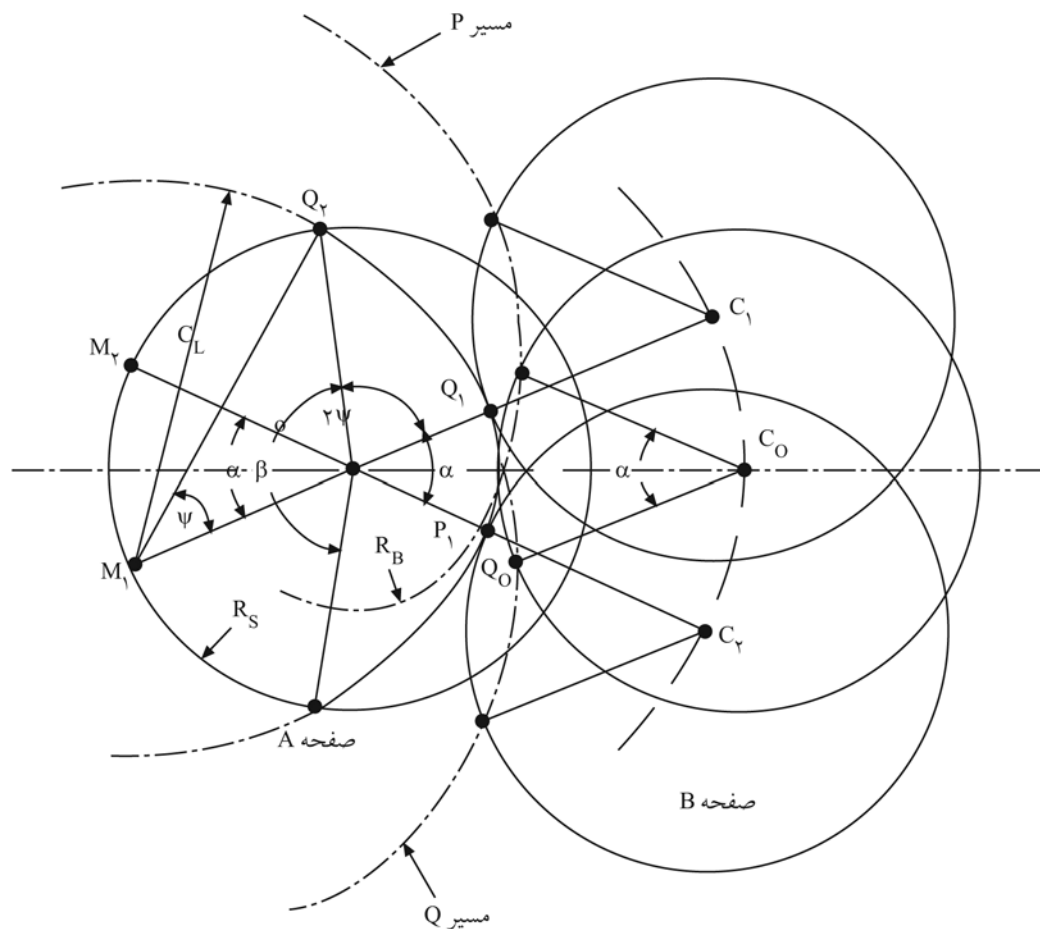


شکل ۱ - سطوح مقطع پیچ‌های خودپاک کن [۳].

می شود. بطور مشابه مرکز مسیر حرکت نقطه Q_q است. شکل ۳ موقعیت های مختلف رأس PQ را هنگام حرکت نسبی نشان می دهد. همان طور که مشاهده می شود مسیر حرکت نقطه Q دایره هایی به شعاع C_L و مرکز M_q است. C_1 و C_2 طوری انتخاب می شوند که خطوط A و $C_{2Q_2}C_1Q_1$ از مرکز O عبور کنند. بین C_1 و C_2 ، منحنی بسته صفحه A به وسیله رأس دایروی PQ جاروب می شود. به عبارتی دیگر PQ مکان هندسی نقاط موجود روی کمان P_0Q_0 در حرکت از C_1 به C_2 است. خارج از ناحیه یاد شده، یعنی OQ_1P_1 ، محیط بسته متشکل از مکان هندسی نقاط P و Q است. همان طور که از شکل ۳ مشخص است، باز شده کمان P_1Q_1 کمانی از دایره به مرکز O و شعاع $R_B = C_L - R_s$ است. زاویه P_1OQ_1 برابر زاویه رأس یعنی α است، بنابراین محیط بسته کلی متشکل از کمان دایروی P_1Q_1 به شعاع R_B مکان هندسی نقاط Q_0 و Q_1 است. در این مقاله بحث به شعاع C_L و کمان دایره رأس به شعاع R_s است. در آن هر دو صفحه دارای زاویه رأس و ریشه برابر هستند که در بخش نتایج و بحث به روش طراحی، معادلات مربوط و نتایج بدست آمده پرداخته می شود. در این پژوهش، پس از انجام طراحی پیچ های خودپاک کن و ساخت آنها، آزمایش هایی با استفاده از ملامین فرمالدھید انجام شده است که نتایج بدست آمده از

سطح مقطع دو پیچ فقط یک جفت از صفحات در نظر گرفته می شود. شکل ۲ نشان دهنده سطح مقطع پیچ تک رأس با شعاع R_s و فاصله مرکز به مرکز C_L است. P_0Q_0 در شکل ۲ رأس صفحه B است. حال باید شکل صفحه A را طوری بدست آورده که از لحاظ ریاضی خاصیت خودپاک کنندگی برقرار باشد. به عبارتی دیگر، باید مسیر حرکت P_0Q_0 را نسبت به صفحه A مشخص کرد. بدست آوردن مسیر مورد نظر در حالتی که حرکتی به سیستم صفحات A و B داده شود آسانتر می شود. فرض می شود دو صفحه با سرعت N در جهت عقربه های ساعت می چرخند. حال اگر حول O حرکتی چرخشی با سرعت $-N$ ایجاد شود صفحه A به سکون می رسد و مرکز صفحه B با سرعت $-N$ حول O حرکت چرخشی خواهد داشت که سبب ایجاد دایره فرضی به مرکز O و شعاع C_L می شود. در همان لحظه حرکت صفحه B حول مرکز O متوقف می شود. چون صفحه B با سرعت نسبی می چرخد، تمام نقاط صفحه روی دایره ای به شعاع C_L قرار می گیرند. مرکز مکان هندسی P روی دایره عبوری از رأس صفحه A است. بطور مشابه مرکز مکان هندسی نقطه Q است. شکل ۲ مکان هندسی نقاط P و Q را نشان می دهد. با توجه به شکل که شعاع مسیر حرکت نقطه مرکز C_0 را برابر C_L نشان می دهد، شعاع حرکت نقطه P نیز برابر

شکل ۲ - مکان هندسی نقاط Q و P . [۳]

شکل ۳ - مکان هندسی کمان P_0Q_0 به هنگام حرکت نسبی [۳].

روش‌ها

آنها در مقایسه با روش پیمانه‌ای مورد بحث قرار می‌گیرد.

تجربی

برای اکسیتروژن واکنشی ملامین فرمالدھید سیستمی متشکل از راکتوری شیشه‌ای مجهز به چگالنده و همزن در داخل حمام آب سوار شد. برای کاهش مدت زمان واکنش در اکسیترودر و رسیدن به چگالی پیوندهای عرضی قابل قبول، مرحله افزایشی پلیمر شدن (تهیه شربت) در راکتور پیمانه‌ای انجام شد [۵]. با توجه به اثر دمای استوانه، سرعت واکنش و احتمال ژل شدن رزین، دمای پوسته اکسیترودر متناسب با زمان اقامت و فرمولیندی رزین معین شد. زمان اقامت در محدوده $5\text{--}10\text{ min}$ و دمای پوسته اکسیترودر بین 130°C تا 140°C تنظیم شد. در این شرایط ضمن انجام واکنش در اکسیترودر ترکیب دوفازی شده، آب و مواد فرار از رزین جدا می‌شود. رزین حاصل می‌تواند مستقیماً برای قالبگیری فرستاده شود و یا اینکه پس از خشک شدن کامل می‌توان آن را به شکل پودر درآورده، سپس آن را قالبگیری کرد.

مقدار g ۳۰۰ مل و g ۱۰۰ رونغن از دو ناحیه مجزا وارد دستگاه شد. دما در 30°C و زمان اقامت برای 5 min تنظیم شد. مواد خروجی از اکسیترودر

مواد

در این پژوهش، بلور ملامین محصول پتروشیمی ارومیه با درجه خلوص ۹۹ درصد، فرمالدھید محصول شرکت سینا به شکل محلول فرمالین ۳۷ درصد، محلول سود از نوع آزمایشگاهی با غلظت $N\text{,2}$ ، آلفا سلولوز به عنوان تقویت کننده با طول الیاف $2\text{--}4\text{ mm}$ محصول شرکت لیتر پاک، کلسیم کربنات در نقش اصلاح کننده و عامل پایداری ابعادی، سدیم دی سولفید برای حفظ و پراکندگی آب در رزین، شکر به عنوان روان کننده و بهبود دهنده خواص جریان در فرایند و روی استشارات در نقش عامل جداکننده از قالب و پودر سفید رنگ مل (mel) به عنوان پرکننده بکار برده شده است.

شربت و در فواصل زمانی مشخص اضافه شد. مواد خروجی خشک، سپس پودر و قالبگیری شدند [۶].

آزمایش سوم

آزمایش همانند آزمایش دوم انجام شد اما اضافه کردن الیاف از استوانه‌های اول و دوم انجام گرفت. مواد خروجی خشک، سپس پودر و قالبگیری شدند.

از اختلاط مناسبی برخوردار بودند. مقدار ۳۶۳ g روغن و مل از سیستم خارج شد. سپس اکسترودر باز و پیچ‌ها خارج شدند. وزن مواد باقیمانده در استوانه نیز اندازه گیری شدند. درصد خودپاک کنندگی طبق معادله ۱ بدست می‌آید:

$$\frac{\text{استوانه (روغن + مل)} + \text{خروجی (روغن + مل)}}{\text{ورودی (روغن + مل)}} \times 100 = \text{درصد خودپاک کنندگی} \quad (1)$$

با جایگذاری، این مقدار ۹۳/۶ درصد بدست می‌آید.

تهیه شربت رزین با فرمالین ۳۷ درصد

برای تهیه شربت رزین MF، مقدار ۵۳۵ g فرمالین ۳۷ درصد به همراه ۳۰ ۲/۴ g بلور ملامین و ۵۰۰ g سود ۲N وارد راکتور شد نسبت مولی (F/M) برابر ۲/۷۵ و دمای سیستم ۷۰°C در نظر گرفته شد. با ادامه همزدن و پیشرفت واکنش به دلیل کاهش pH محلول، برای رسیدن به pH حدود ۱۰-۸ و قلیایی نگه داشتن محیط، هر ۵ min مقدار ۵۰۰ g سود ۲N به سیستم اضافه شد. انجام واکنش ۱۵ min به طول انجامید تا اینکه محلول از حالت شیری رنگ به حالت نسبتاً شفاف تغییر رنگ یافتد. با حل شدن ملامین، متیول ملامین‌ها در حال تشکیل اند. محلول حاصل همان رزین ملامین فرمالدھید است که در اثر سرد شدن بتدریج بلوری می‌شود و پس از ۱ h در دمای اتاق، خمیر سفید رنگ از الیگومرهای رزین ملامین فرمالدھید پدید آمد [۵].

آزمایش اول

به شربت رزین تهیه شده با فرمالین ۳۷ درصد، مقدار ۴۵ g سلولوز، ۴۵ g کلسیم کربنات، ۱۲/۷ g سدیم دی‌سولفات، ۱۳/۷ g شکر و ۷۳۷ g روی استثارات اضافه و با دست مخلوط شد. پس از رسیدن گرانزوی به حد مناسب مواد به قسمت خوراک اکسترودر با زمان اقامت ۵ min و نیمرخ دمایی ۴۰، ۶۰، ۶۰ و ۶۵ به ترتیب از خوراک تا سر قالب اضافه شد [۶]. به دلیل درصد زیاد آب در خروجی از اکسترودر قالبگیری امکان پذیر نبود. پس از خروج کامل مواد، اکسترودر به مدت ۲ h بدون مواد کار کرد تا اینکه بازمانده‌های مواد درون اکسترودر تخلیه شد. مواد خروجی خشک، سپس پودر و در نهایت قالبگیری شدند.

آزمایش دوم

آزمایش همانند آزمایش اول انجام شد اما، عملیات اضافه کردن الیاف درون اکسترودر انجام گرفت. الیاف از نقطه ورود خوراک همزن با

آزمایش چهارم (سیستم بخارزدایی)

با انتخاب نیمرخ دمایی ۱۰۰، ۱۱۰، ۱۱۵ و ۱۲۰ به ترتیب از خوراک تا سر قالب آزمایش دوم تکرار شد. مواد با کیفیت بسیار خوبی از دستگاه خارج شدند. به علت افزایش دما آب موجود در رزین بخار شده و مخلوط حاصل بطور مستقیم آماده قالبگیری شد. کنترل دما به وسیله ترموکوپل و دمنده انجام شد [۵].

آزمایش پنجم (سیستم بخارزدایی)

الیاف از نقطه ورود خوراک و شربت از استوانه اول اضافه شد. با انتخاب نیمرخ دمایی ۱۰۰، ۱۱۰، ۱۱۵ و ۱۲۰ به ترتیب از خوراک تا سر قالب آزمایش تکرار و مخلوط حاصل بطور مستقیم به داخل قالب هدایت شد.

آزمایش ششم

آزمایش پنجم تکرار شد اما مواد خروجی پس از خشک شدن و پودر شدن قالبگیری شدند.

آزمایش هفتم

آزمایش پنجم تکرار اما سیستم بخارزدایی حذف شد، مواد خروجی گرانزوی کمی داشتند.

آزمایش هشتم

آزمایش هفتم انجام شد اما مواد خروجی پس از خشک شدن و پودر شدن قالبگیری شدند.

از پیش پخت پودرها قبل از بکاربردن فشار کامل باید اجتناب کرد، در غیر این صورت نتیجه آن به هم پیوستگی ضعیف سطح و استحکام کم قطعات قالبگیری شده است [۶]. با رعایت موارد یاد شده مقدار معینی از پودر ساخته شده در داخل قالب مربوط ریخته و به کمک دستگاه پرس قالبگیری شد.

می‌ماند. عمق کanal (h) طبق معادله ۵ بدست می‌آید:

$$h = 2R_S - C_L \quad (5)$$

بطور کلی فاصله مرکز به مرکز و قطر پیچ دو پارامتر مشخص و معلوم در طراحی آند که به کمک آنها می‌توان شکل سطح مقطع را بدست آورد $[V]$. چگونگی رسم سطح مقطع پیچی با تعداد رئوس برابر $2/6 = p_c$ در شکل ۵ نشان داده شده است. نقطه B به گونه‌ای انتخاب شده است که $C_{L\alpha} = AB = C_L$ باشد. این فرض، زاویه ψ و $\angle COB = 2\psi$ را تعریف می‌کند. نقطه D طوری انتخاب می‌شود که $\angle DOC = \pi/n$ باشد. P در فاصله‌ای مساوی از نقاط B و D انتخاب می‌شود. با اعمال $P'Q'D = QD = PD = DQ$ ، یک رأس به وسیله P و Q محدود می‌شود. رأس دوم $M_P = OP$ نسبت به محور x با رأس اول متقابن است. مرکز M_P یعنی مرکز منحنی فلانک (Flank) که از نقطه P می‌گذرد، در فاصله‌ای به اندازه C_L از P قرار می‌گیرد. همان‌طور که از شکل ۵ مشخص است مثلث OAB مثلثی متساوی الساقین با وتری به طول C_L است. برای اینکه بتوان فاصله C_L از نقطه P را بدست آورد باید مثلث OAB را طوری حول O چرخاند که B روی P قرار بگیرد. چون P بین B و D قرار دارد و زاویه $\alpha = \angle OPQ$ برابر α و زاویه چرخش برای حرکت از B به P برابر $\alpha/2$ است، بنابراین نقطه A نیز به اندازه $\alpha/2$ چرخش پیدا می‌کند. M_P ضلع زاویه‌ای به اندازه $\alpha/2$ ، یعنی روی ضلع OM_P از زاویه $\angle OAM_P$ است بطوری که $R_p = OD$ قرار می‌گیرد. منحنی‌های ریشه به وسیله خطوط عبوری از D، به مراکز منحنی‌های فلانک محدود می‌شود.

شکل ۶ به شکل نمایشی سطح مقطع پیچ را در صفحه عمود و عبوری از محور پیچ نشان می‌دهد. نقاط P_1 و P_2 در فاصله t/n از یکدیگر قرار دارند که t فاصله بین دو سریله (flight) متوالی است. عمق کanal بین نقاط B_1 و B_2 ثابت، اما بین A_1 و A_2 تابعی از θ است. در نقطه C مبدأ مختصات تعریف می‌شود که با اعمال آن محور z با θ معادله ۶ رابرقرار می‌کند:

$$z = \frac{t\theta}{2\pi} \quad (6)$$

عمق کanal با توجه به شکل ۶ از معادله ۷ محاسبه می‌شود:

$$h_\theta = R_S(1 + \cos\theta) - \sqrt{C_L^2 - R_S^2 \sin^2 \theta} \quad (7)$$

برای ساخت پیچ‌ها فرض می‌شود پیچ‌های با مشخصات شعاع پیچ $L=73\text{cm}$ ، $C_L=40\text{mm}$ ، $R=22/4\text{ mm}$

نتایج و بحث

همان‌طور که گفته شد، در این پژوهش طراحی پیچ‌های خودپاک کن به پیچ‌های محدود شده است که در آنها هر دو صفحه دارای زاویه رأس و ریشه برابرند. در این حالت به دنبال مطالب منعکس شده در مقدمه، زاویه ψ به شکل معادله ۲ بدست می‌آید:

$$\psi = \cos^{-1}\left(\frac{C_L}{2R_S}\right) = \cos^{-1}\left(\frac{\rho_c}{2}\right) \quad (2)$$

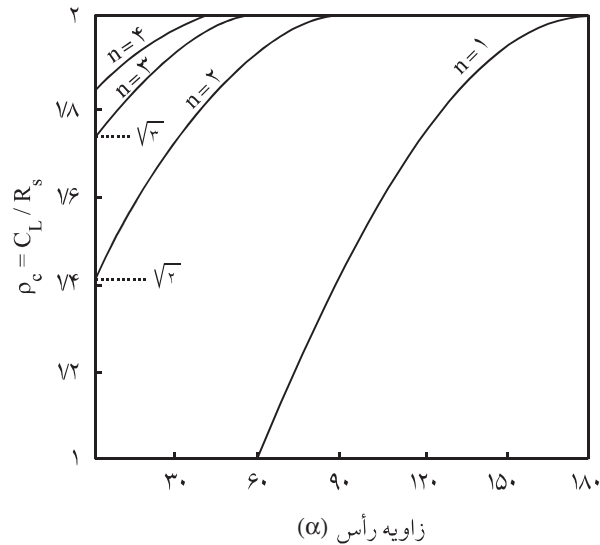
پارامتر بدون بعد ρ نسبت فاصله مرکز تا مرکز (C_L) به شعاع استوانه (R_S) است که به اختصار نسبت مرکز به مرکز نامیده می‌شود. از آنجاکه $\psi = \angle Q_1OP_1 = \angle Q_1O$ است، با جمع زوایا حول نقطه O معادله ۳ بدست می‌آید:

$$\alpha + \beta + 4\psi = 2\pi \quad (3)$$

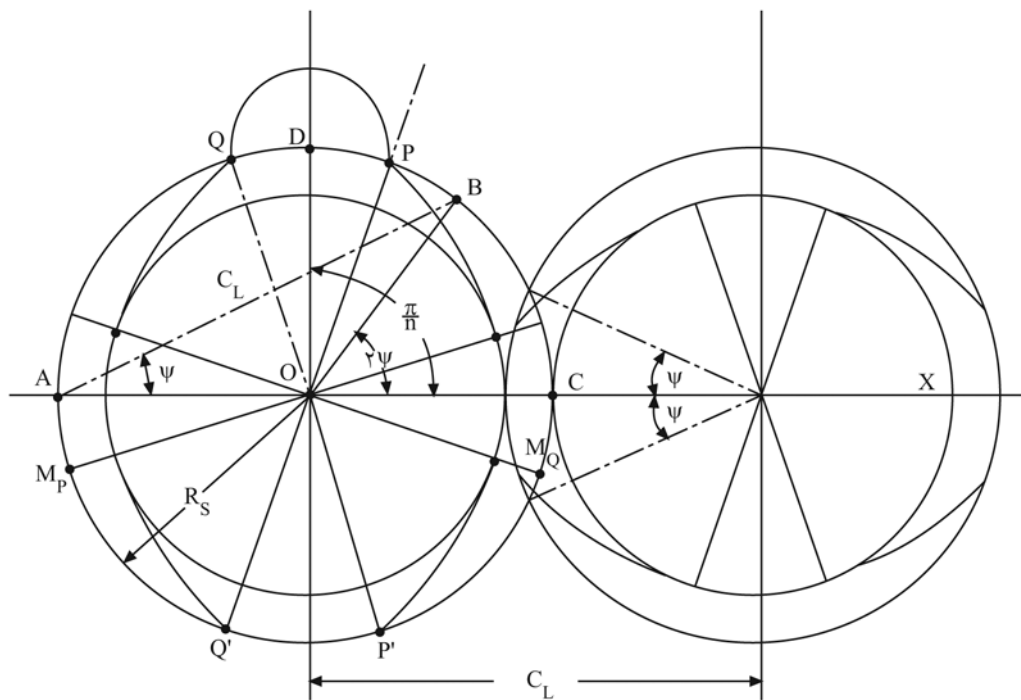
که α و β نشان‌دهنده زوایای رأس مطابق شکل ۳ است. و $\alpha = \beta$ آنگاه:

$$\alpha = \pi - 2\cos^{-1}\left(\frac{\rho_c}{2}\right) \quad (4)$$

این نسبت (ρ_c) در شکل ۴ به شکل تابعی از α و n رسم شده است که تعداد رئوس پیچ‌ها را نشان می‌دهد. از این شکل می‌توان پارامترهای اصلی طراحی پیچ‌های خودپاک کن را بدست آورد. با طراحی استوانه مقادیر C_L و R_S ثابت می‌شوند که در نتیجه مقدار ρ_c نیز ثابت



شکل ۴- نسبت مرکز به مرکز تابعی از زاویه رأس.



شکل ۵ - ترسیم سطح مقطع پیچ های خودپاک کن.

طبق معادله $P = \pi D \tan \phi$ برابر $\frac{14}{8} mm$ بدست می آید. به علت محدودیت های ماشین کاری، گام $P = 16 mm$ در نتیجه زاویه پیچ $\frac{\pi}{5}$ درجه محاسبه شدند. از رابطه $L = N \times P$ (N تعداد کanal های پر و L طول پیچ) $N = 45/63$ بدست می آید. با توجه به زمان اقامت ۵ min درون N اکسٹرودر می توان سرعت پیچ را محاسبه کرد [۶]. زمان اقامت در ناحیه مذاب طبق معادله ۹ به شکل زیر قابل محاسبه است [۸].

$$T = \frac{2D - 9\sqrt{Dh}}{D \cos \phi} \frac{N}{n} \quad (9)$$

با قرار دادن اعداد در معادله ۹ مقدار n برابر $15/8 rpm$ بدست می آید:

$$n = \frac{2 \times 44/8 - 9\sqrt{44/8 \times 4/8}}{44/8 \times \cos^2 6/5} \frac{45/63}{15/8} \quad (10)$$

عرض سر پله طبق معادله ۱۱ محاسبه می شود:

$$e = \frac{P \alpha \cos \phi}{2\pi} = \frac{16 \times 127 \times \cos 6/5}{2 \times 180} = 5/6 mm \quad (11)$$

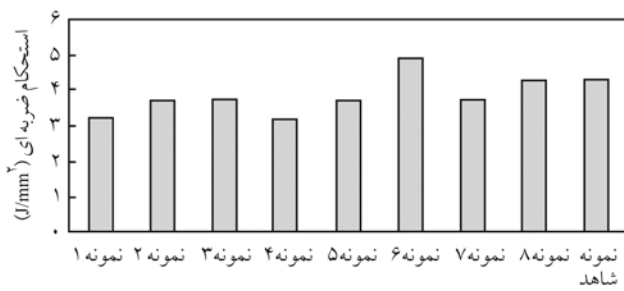
که زاویه رأس با جایگذاری در معادله $\alpha = \pi - 2 \operatorname{Cos}^{-1} (\frac{P_c}{2})$ درجه بدست می آید.

گام پیچ ها $P = 16 mm$ ، فاصله هوایی سر پله تا دیواره داخلی استوانه $\delta = 1/79 mm$ ، نسبت مرکز به مرکز $\rho_c = 1/79$ ، زاویه رأس $\alpha = 127^\circ$ ، عرض سر پله مطلوب باشد.

با توجه به اینکه ساخت دستگاهی در مقیاس آزمایشگاهی مدنظر است، اولین گام انتخاب D/L مناسب است که برابر 15 در نظر گرفته شد. فاصله مرکز به مرکز و قطر پیچ با توجه به یاتاقان های موجود در بازار $40/44/8 mm$ انتخاب شدند. با توجه به مقدار D/L برابر $15/8$ می توان اطمینان از عدم برگشت مواد در ناحیه خوراک در نظر گرفته شد. بنابراین، طول کلی پیچ در $730 mm$ ثابت شد. فاصله هوایی (clearance) بین سر پله و دیواره داخلی استوانه برابر $1 mm$ در نظر گرفته شد. این مقدار به علت محدودیت های مکانیکی انتخاب گردید. مقدار بیشتر فاصله هوایی، نشیتی مواد را به دنبال دارد. طبق معادله ۸ نسبت مرکز به مرکز محاسبه می شود:

$$\rho_c = \frac{C_L}{R_s} = \frac{40}{22/4} = 1/79 \quad (8)$$

با توجه به اینکه خوراک در حالت مایع وارد می شود، طراحی قسمت ناحیه مذاب برای این قسمت در نظر گرفته می شود. با توجه به داده های گرانروی سنجی زاویه پیچ برابر 6 درجه انتخاب شد که از آنجا گام پیچ



شکل ۱۱ - استحکام ضربه ای.

آزمایش ضربه پذیری در آزمایش دوم، استحکام بهتر قطعه را در مقایسه با نوع قبلی نشان می‌دهد. در آزمایش سوم با اضافه کردن الیاف در نواحی مختلف احتمال وجود نقاط خالی از الیاف در قطعه کاهش می‌یابد. از طرفی چون الیاف زمان کمتری در اکسترودر می‌ماند، اختلاط آن با شربت کم می‌شود. خواص در مقایسه با محصول قبلی تفاوت چندانی نداشت. از آنجا که مواد خروجی از اکسترودر باید قالبگیری شوند نیاز به مرحله خشک کردن دارند که فرایندی طولانی و هزینه‌بر است. در آزمایش چهارم با توجه به بخار شدن آب موجود در رزین قطعه بطور مستقیم آماده قالبگیری می‌شود، بنابراین در مقایسه با آزمایش‌های قبلی بسیار مقرون به صرفه خواهد بود. چون الیاف و رزین در آزمایش پنجم از دو نقطه مختلف وارد می‌شوند، کنترل میزان ورود الیاف نیز با توجه به میزان رزین و روودی آسانتر می‌شود. همچنین، نتایج حاصل از آزمایش، خواص ضربه‌پذیری بهتر قطعه را در مقایسه با نوع قبلی نشان می‌دهد. در آزمایش ششم به علت کم شدن رطوبت، خواص ضربه‌پذیری بهتر شده است. به علت وجود آب در سیستم آزمایش هفتم و در نتیجه انجام واکنش در محیطی با گرانروی کم فرایند اکستروزن واکنشی براحتی انجام شده است. ولی به علت رطوبت بیشتر در محصول، خواص ضربه‌پذیری آن کاهش یافته است. در آزمایش هشتم محصول خروجی که دارای مقدار زیادی رطوبت بوده است پس از خشک شدن، قالبگیری شده و تحت آزمون ضربه‌پذیری قرار گرفته است که به علت کم شدن رطوبت در قطعه، خواص مکانیکی بهبود یافته است.

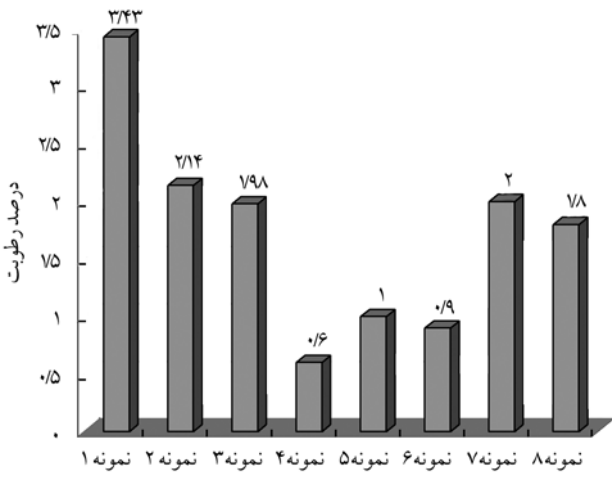
نتیجه‌گیری

طراحی و ساخت اکسترودرهای دوپیچه خودپاک کن توانایی انجام واکنش‌های پلیمری کنترل شده را در حین شکل دهی پلیمر امکان‌پذیر می‌سازد، بطوری که دستگاه یاد شده به عنوان راکتور شیمیایی قابل



شکل ۹ - اکسترودر دو پیچه همسو گرد.

برخورد با محیط‌های گرانرو انجام شد. مواد بدون هیچ گونه مشکلی از دستگاه خارج شدند. پس از انجام آزمایش با توجه به مقدار روغن باقیمانده روی پیچ میزان خودپاک کنندگی محاسبه شد که نتیجه آن کاملاً رضایت بخش بود. علت باقی ماندن مواد روی پیچ‌ها وجود لقی (tolerance) مکانیکی بین پیچ و استوانه و همچنین بین پیچ‌ها وجود که امری اجتناب ناپذیر است. خواص محصولات آزمایش‌های مختلف با توجه به آزمون‌های رطوبت و مقاومت ضربه‌پذیری در شکل‌های ۱۰ و ۱۱ با یکدیگر مقایسه شده‌اند. در آزمایش اول با توجه به اینکه نوع پیچ‌های مورد استفاده خود پاک کن بود، اجزا چسبیدن هیچ گونه ماده‌ای به پیچ داده نشد. در این مرحله به علت وجود آب در سیستم، زمان نسبتاً زیادی صرف خشک کردن مواد می‌شود. نتایج حاصل از



شکل ۱۰ - میزان رطوبت نمونه‌ها.

یا سه رأس وجود دارد می‌توان خواص محصول خروجی را مطابق خواص مورد نظر تنظیم کرد. از آنجا که فرمالین در حین واکنش بویی بسیار تند و نامطبوع ایجاد می‌کند که سبب مختل شدن سیستم بینایی و تنفسی می‌شود، استفاده از محیط پیوسته اکستروور با سیستم مجهز به خروجی گازهای فرمالین سبب راحتی کاربر هنگام کار با اکستروور می‌شود و مشکلات زیست محیطی کاملاً مرتفع می‌گردد.

استفاده است. بکارگیری این سیستم امکان تهیه مخلوط‌های بسیار همگن (در این پژوهش الیاف و رزین ملامین فرمالدھید) را عملی می‌سازد، به علاوه موجب افزایش سرعت تولید با کیفیت مطلوب و کاهش هزینه‌ها می‌شود.

از طرفی با توجه به اینکه امکان کنترل دقیق سرعت پیچ‌ها و دمای اکستروور و همچنین امکان تغییر طراحی پیچ‌ها از حالت تک‌رأس به دو

مراجع

1. Xanthos M., *Reactive Extrusion, Principles and Practices*, Hanser, Germany, Chap.1, 1992.
2. White J.L., *Twin Screw Extruder:Technology and Principles*, Hanser, Germany, Chap. 1-3, 1990.
3. Booy M.L., Geometry of Fully Wiped Twin-Screw Extruder, *Polym. Eng. Sci.*, **18**, 973-981, 1979.
4. Todd D.B., *Plastic Compounding*, Hanser, Germany, Chap. 1 and 2, 1998.
5. Qamari A., *Modified Reaction Extrusion of Melamine Formoldehyde*, MSc Thesis, Polymer Engineering Group, Tarbiat Modares University, 1999.
6. Navarchian M.H., *Reaction Extrusion of Melamine Formoldehyde*, MSc Thesis, Polymer Engineering Group, Tarbiat Modares University, 1997.
7. Rauwendall C., *Polymer Extrusion*, Hanser, Germany, Chap. 11, 1994.
8. Martelli F.G., *Twin-screw Extruder:A Basic Understanding*, Van Nostrand Reinhold, New York, Chap. 1 and 2, 1983.
9. Denson C.D. and Hwang Jr.B.K., The Transport Processes in a Twin Screw Extruder, *Polym. Eng. Sci.*, **20**, 971-995, 1980.
10. Booy M.L., Isothermal Flow of Viscouse Liquid in Corotating Twin Screw Devices, *Polym. Eng. Sci.*, **20**, 1221-1230, 1980.